

Fig. 5. 1 y 2, Ent. "confusa". 1, cicatriz proximal y composición de la pared. 2, cicatriz distal y composición de la pared. 3 y 4, *E. infrequens*, composición de la pared (3) y vista superficial de las papillas poligonales huecas. 5 y 6, Ent. "Piedras Blancas", cicatriz proximal (5) y composición de la pared (6).

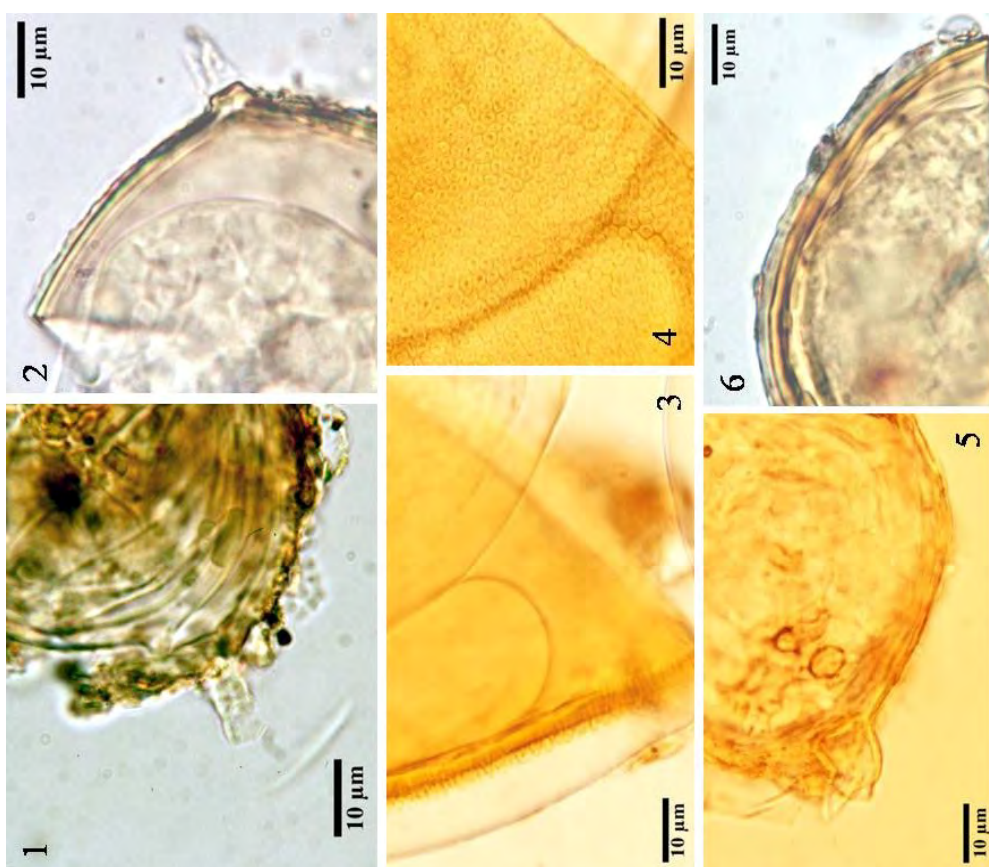


Fig. 6. 1 y 2, Ent. Papillas huecas, composición de la pared de la espora y papillas largas huecas. 3 y 4, Falsa-Acaulospora (FAC.) "costra", composición del exosporio y el endosporio doble. 5 y 6, Falsa-Acaulospora (FAC. *sincillans*). 5, composición del exosporio ornamentado y el endosporio hialino de pared doble. 6, composición doble del endosporio. 7, superficie ornamentada del exosporio, se observan verrugas redondeadas.

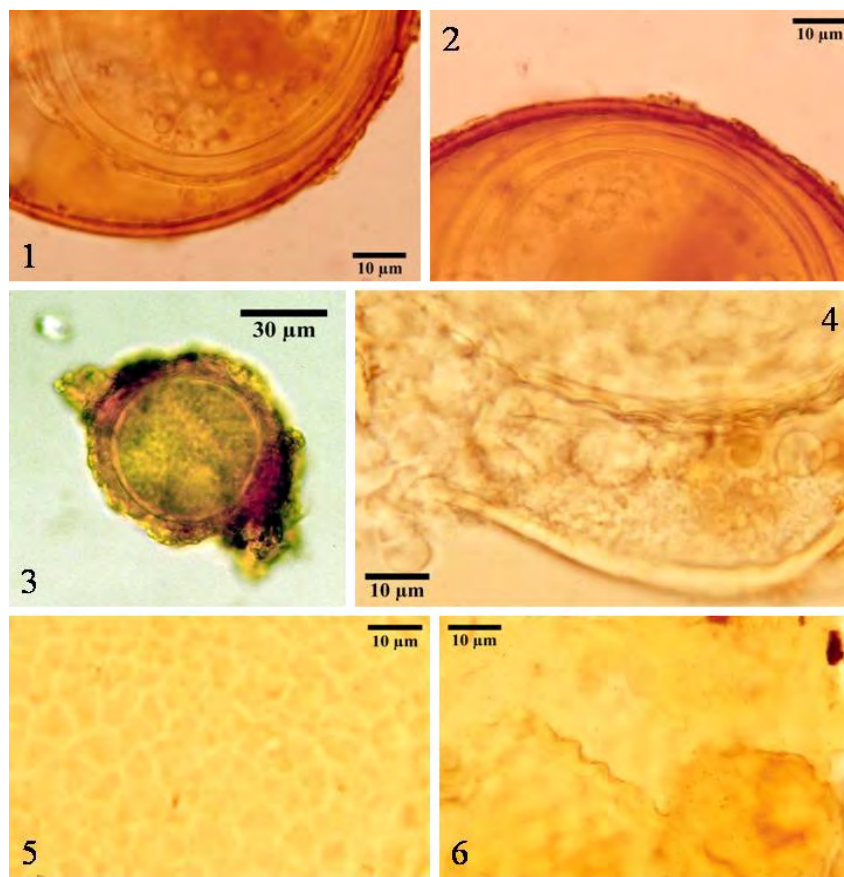


Fig. 7. 1 y 2, Xero-Acaulospora, 1 y 2, composición del exosporio y el endosporio. 3, Arch. "andina", composición del exosporio, mesoaporio y endosporio. 4, Arch hialina cristalina, composición de la pared de la espora, se observa hacia el interior el componente reticulado. 5, Arch. "hialina cristalina", componente reticulado en vista superficial. 6, Arch. leptotricha, componente con proyecciones convexas que coinciden con los hundimientos cóncavos del componente subyacente.

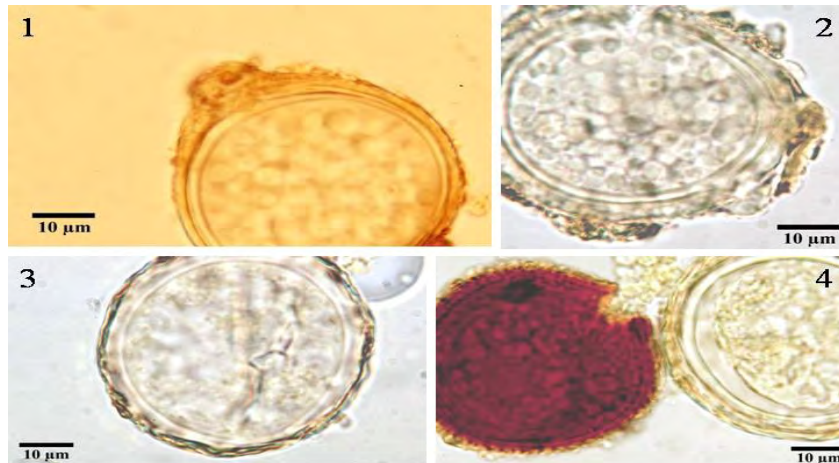


Fig. 8. 1 a 4, FArch. "hialina", en 1 y 2, se observa el esporóforo bulboso ahuecado al centro que parece dar origen a la espora; en 4 se observa la fuerte reacción al Melzer de una espora de FArch. "Melzer" al lado de una de FArch. "hialina".

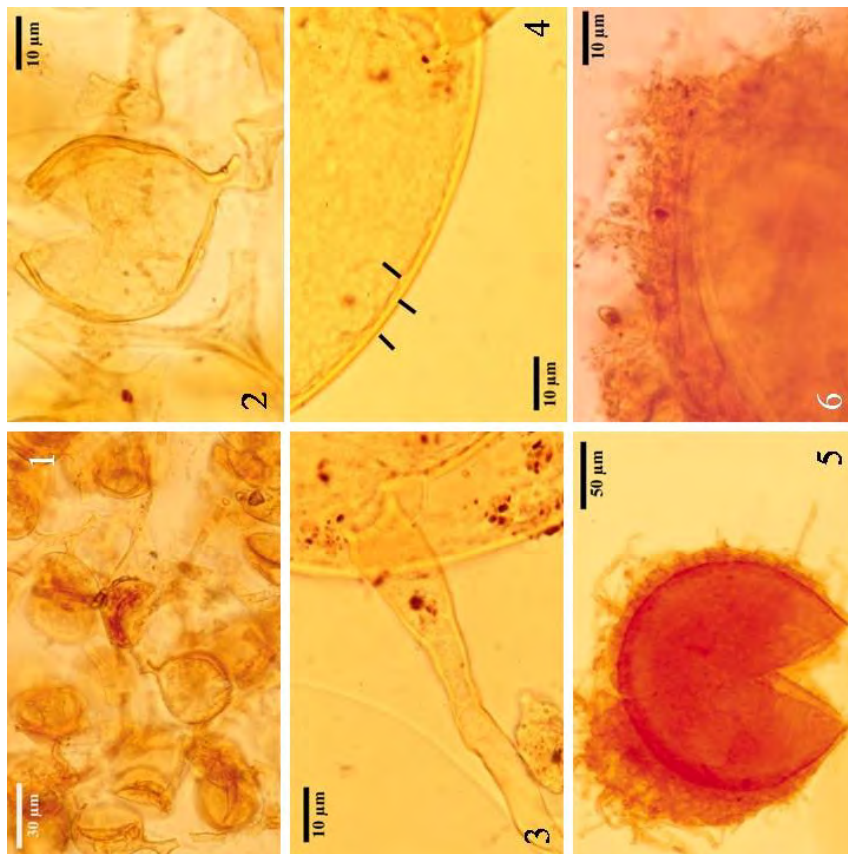


Fig. 9. 1 y 2, Gl. "aggregatum-like", esporas (1) y composición de la pared (2). 3 y 4, Gl. "andino" 3, vista general de la espora. 4, estructura de la pared con dos componentes y septo en la base del esporóforo. 5 y 6, características de la espora e hifas del morfo gloioide de las *Archaeospora spp.*

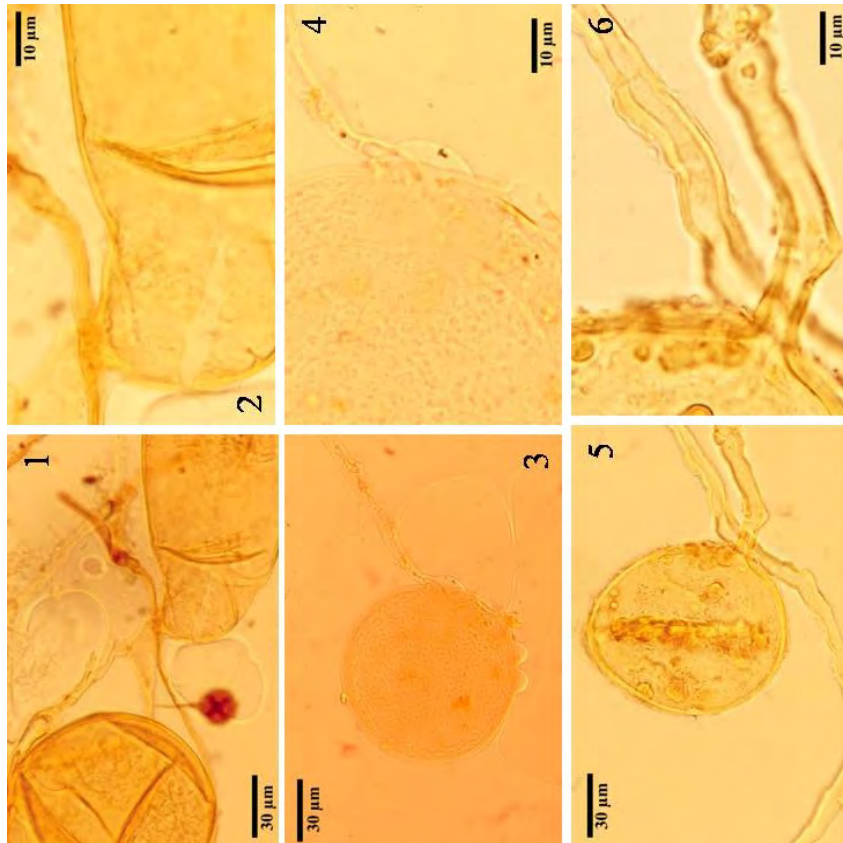


Fig. 10. 1 y 2, *G. microaggregatum*, esporas (1) y composición de la pared de la espora (2). 3 y 4, Gl. "Montilla". 3, septo biconcavo formado por el componente más interno. 4, pared formada por 3 componentes muy finos (barras). 5 y 6, *G. tortosum*, características del peridio y composición de la pared de la espora.

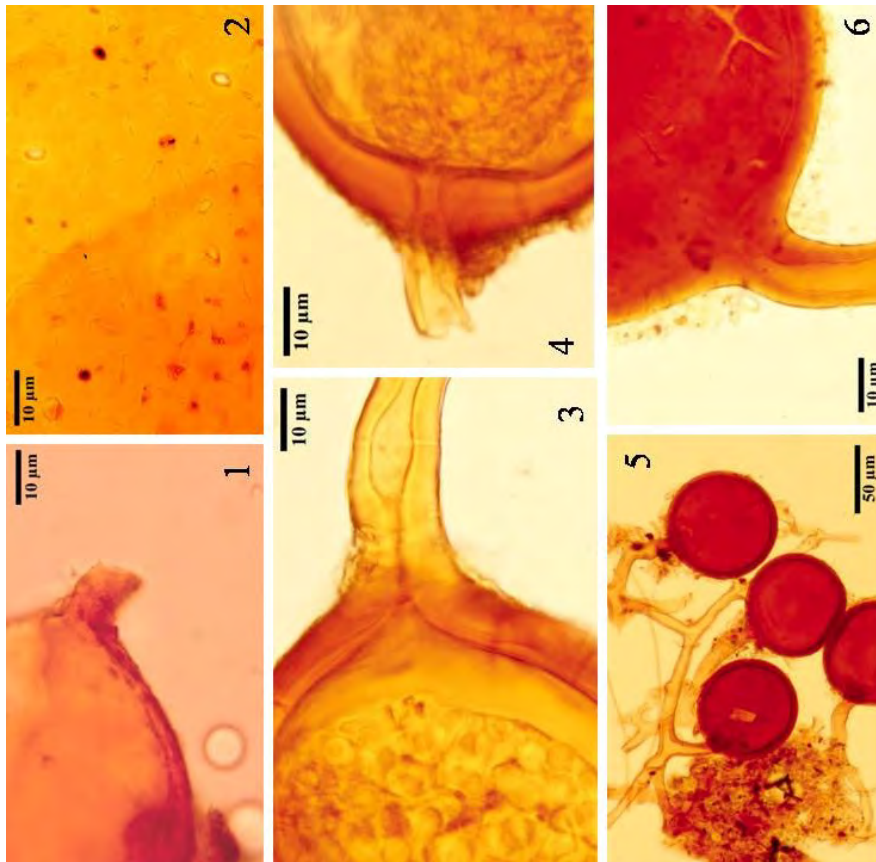


Fig. 11. 1 y 2, Gl. “tortuoso ornamentado”, vista transversal de la ornamentación (1) y vista superficial donde se observan las papillas anulares irregulares. 3 y 4, G. mosseae. 3, composición de la pared de la espora. 4, vista superficial del componente 3 (V) retráctil en forma de verrugas poligonales. 5 y 6, Gl. “pardo dimórfico La Mucuy”, esporas y características del esporóforo (6).

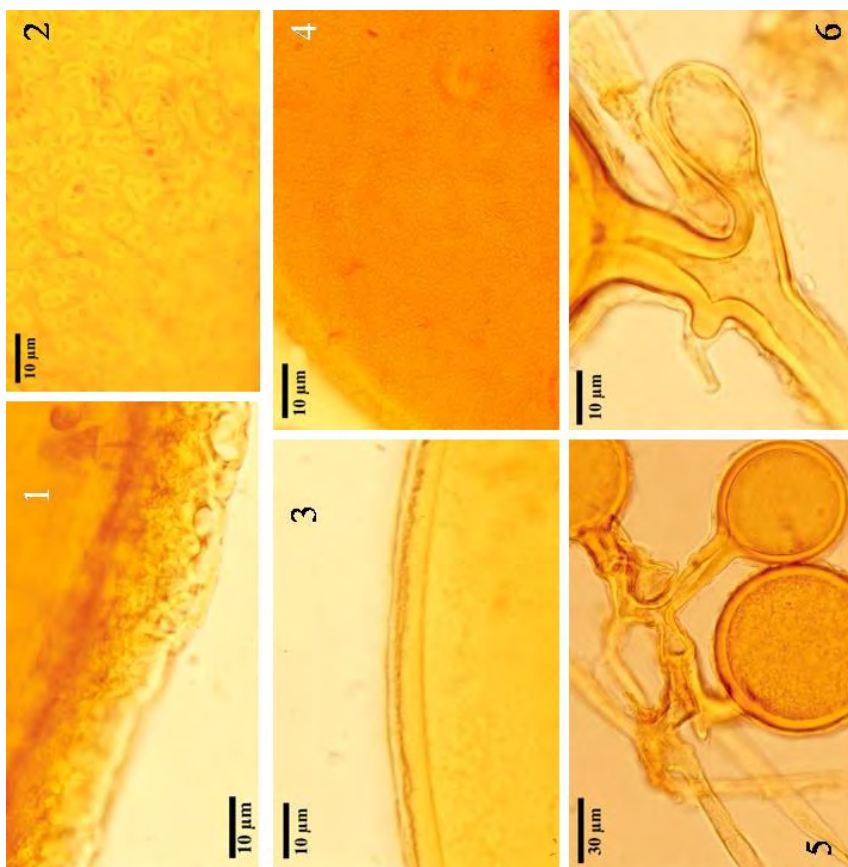


Fig. 12. 1 y 2, Gl. “foveado”. 1, vista transversal de la espora. 2, superficie foveada. 3 y 4, G. glomerulatum, se observan las endósporas adosadas (4) o separadas del componente 2. 5 y 6, Gl. “pardo Bernardo”, características de esporas y el esporóforo.

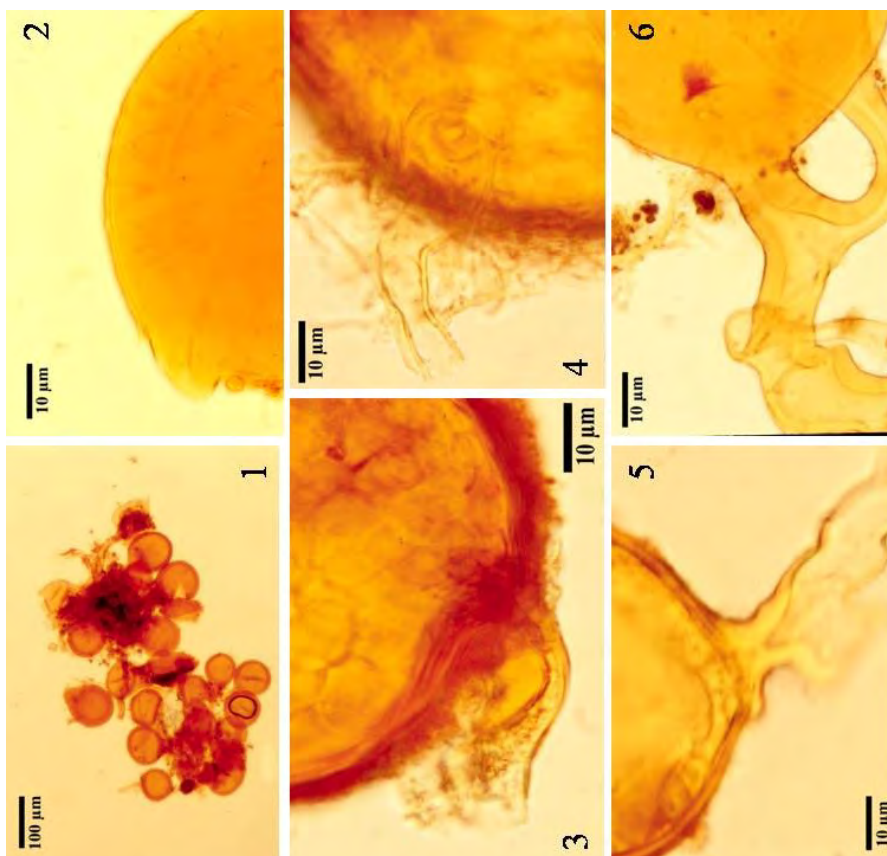
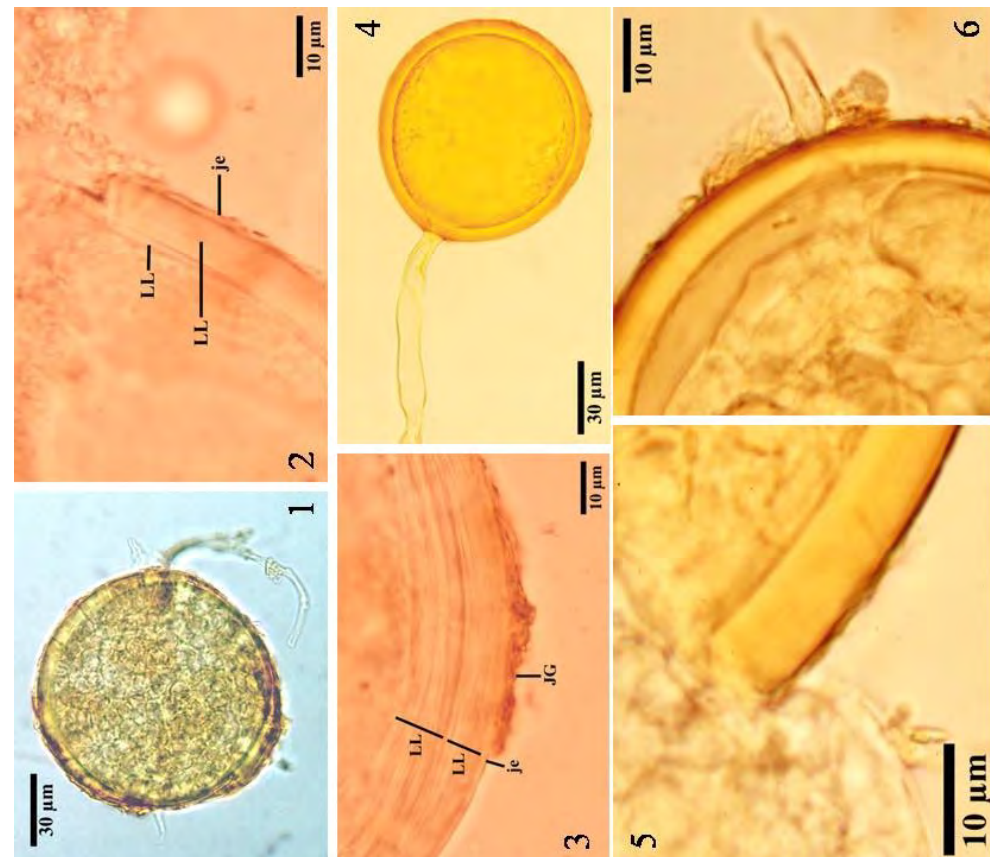


Fig. 13. 1 y 2, Gl. "pardo enano". 1, agregado de esporas. 2, componentes de la pared de la espora, mostrando la ausencia de endosporio. 3, Gl. "pardo 4 componentes", composición de las paredes de la espora y el esporóforo. 4, Gl. "pardo peridio", composición de las paredes de la espora, peridio y esporóforo con paredes muy finas. 5 y 6, Gl. "pardo Gavidia", característica de la espora y el esporóforo, se observa el engrosamiento notable de la pared en la base de la espora.

Fig. 14. 1 a 3, Gl. "blanco Piedras Blancas", se observan los dos componentes gelatinosos externos (JG y Je) y los dos componentes internos constituidos por láminas desprendibles. 4 a 6, Gl. "dimórfico amarillo", características de la espora y los componentes de la pared.

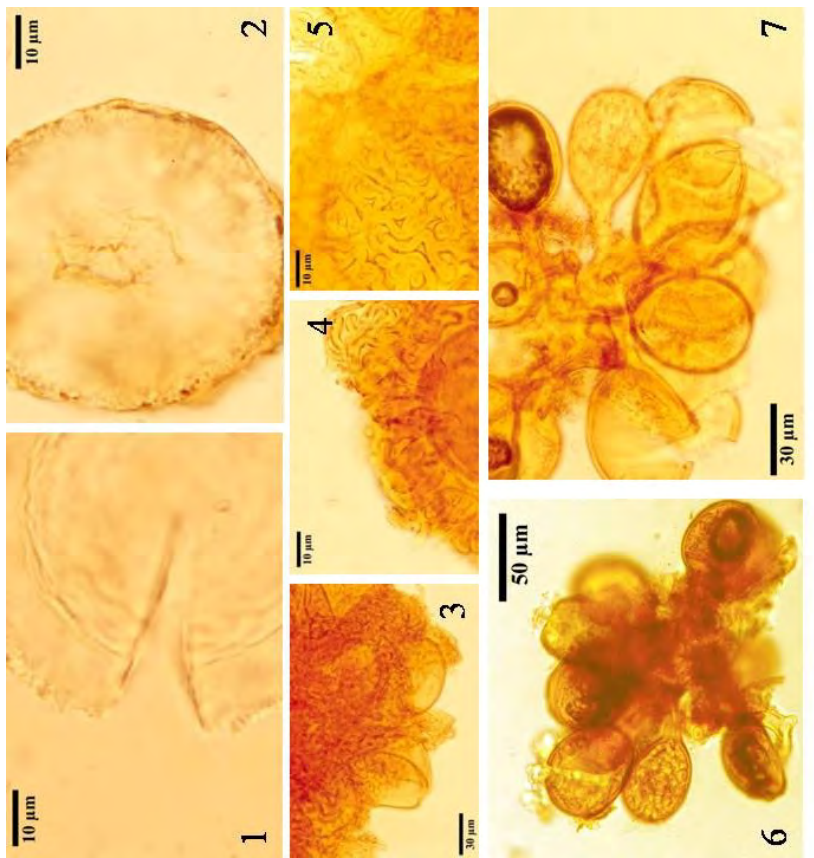


Fig. 16. 1 y 2, FGJ. "lascinado". 1, composición de la pared de la espora. 2, el componente elástico en su estado plástico constrinendo el lumen de la espora. 3 – 5, *S. sinuosa*, características de las esporas y el peridio. 6 y 7, *S. pachycaulis*.

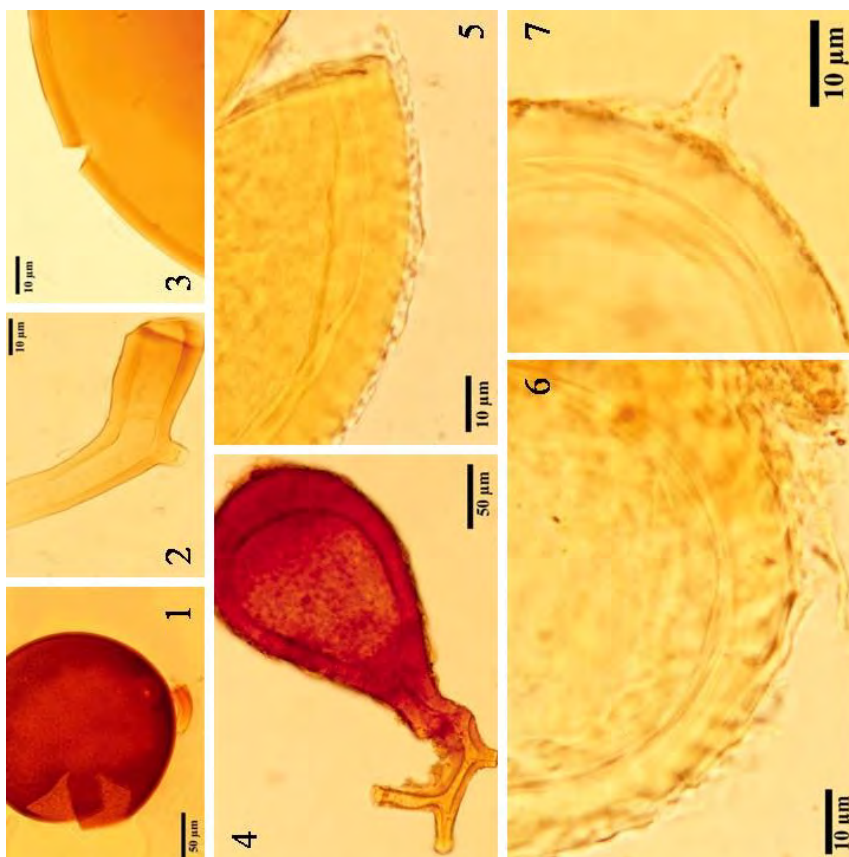


Fig. 15. 1 – 3, GI. "pseudo-geosporum" composición de la pared de la espora y esporóforo grueso fácilmente separable. 4, GI. "La Mucuy", se observan las características del esporóforo y el grosor considerable del componente laminado de la espora. 5 – 7, FGJ. "elástico". 5, composición de la pared de la espora. 6, el componente elástico en su fase helicoidal. 7, esporóforo formado solamente por el componente 1 más externo, característica ésta no común en *Glomus* spp.

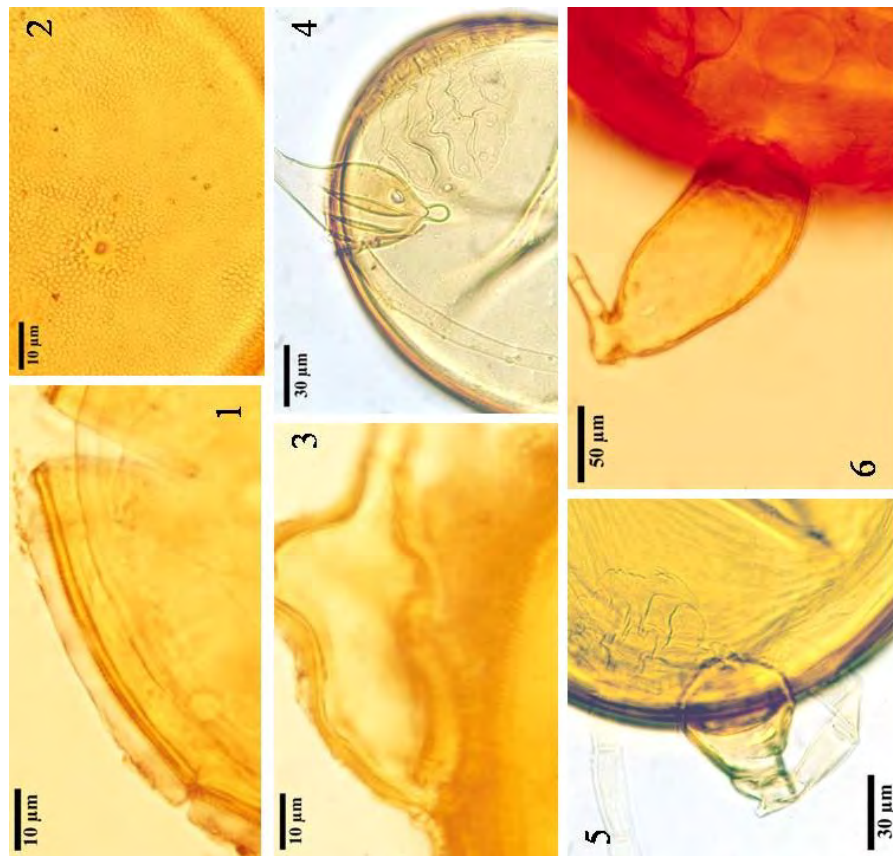


Fig. 17. 1 y 2, XGl. "micro", obsérvese el componente 1 más externo con pliegues longitudinales que asemejan papillas en vista transversal. 3 y 4, XGl. "rugulado", obsérvese el componente 1 más externo con pliegues que forman rugas en vista superficial, que asemejan un peridio en vista transversal.

Fig. 18. 1 a 3, Scu. "amarilla verrugosa La Mucuy". 1, composición de la pared de la espora. 2, superficie verrugosa de la espora y cicatriz dejada en la unión del esporóforo. 3, esporóforo con igual composición de pared que la del exosporio de la espora. 4, Scu. "Monasterio". 5, Scu. "pardo-amarillenta". 6, Scu. "parda gigante La Mucuy".